



Gabriel Asvolinsque Godinho

**Estrutura esbelta unidimensional sob grandes
deslocamentos e condições de plastificação -
Solução analítica**

Projeto de Graduação

Projeto de Graduação apresentado ao Departamento de Engenharia Mecânica da PUC-Rio.

Orientador: Carlos Alberto de Almeida

Rio de Janeiro
Dezembro de 2016

Agradecimentos

A Deus e à minha família por me darem a oportunidade de estudar.

Ao meu prezado orientador, professor Almeida; aos amigos Tomás e Mariana, pelo auxílio mútuo durante a graduação; ao Baja PUC-Rio; ao dr. Alexandre e ao IEPUC; aos amigos Leandro, Gabriel, Vinicius, Ana, Ricardo, Victor, Lucas, Matheus, Pedro e Thiago; e a todos os meus colegas da faculdade e do colégio.

Resumo

Estrutura esbelta unidimensional sob grandes deslocamentos e condições de plastificação - Solução analítica

Vigas são elementos estruturais amplamente utilizados na sustentação de pórticos. Um dos modelos mais utilizados no seu dimensionamento mecânico resulta das equações derivadas por Euler-Bernoulli, adequado para a representação de vigas elásticas no regime de pequenos deslocamentos. Com este trabalho, objetiva-se representar as equações que descrevem o comportamento no regime elasto-plástico de vigas esbeltas em balanço submetidas a grandes deslocamentos em flexão pura.

Palavras-chave

Viga em balanço; grandes deslocamentos; plastificação; encruamento; modelo bilinear; momento concentrado; análise analítica.

Abstract

Slender one-dimensional structure under great displacements and plastification conditions - Analytical solution

Beams are largely used as structural elements in gantries. One of the most used models in the mechanical design of beams results from the equations derived by Euler-Bernoulli, suitable to set the dimensions of elastic beams under small displacements. In this work, equations for the elastic-plastic behavior of slender cantilever beams under large displacements in pure bending are derived.

Keywords

Cantilever beam; great displacements; plastification; work hardening; bilinear model; concentrated moment; analytical analysis.

Sumário

1	Introdução	8
1.1	Lista de Símbolos	8
1.2	Vigas	9
1.3	O Modelo Euler-Bernoulli	10
1.4	O Modelo Bilinear de Plasticidade	12
2	Equacionamento	14
2.1	Descrição do problema	14
2.2	Tensão e Deformação	15
2.3	Momento e ângulo de deformação	16
2.4	Descarregamento da Viga	18
3	Análise dos Resultados	21
3.1	Parâmetros	21
3.2	Resultado das simulações	22
4	Conclusão	26

Lista de figuras

1.1	Esquema ilustrativo de uma viga retangular sob carregamento uniforme.	10
1.2	Variáveis que descrevem a viga deformada sob os efeitos do carregamento uniforme.	10
1.3	Curva de tensão x deformação real de um material elastoplástico que encrua.	13
1.4	Curva tensão x deformação para o modelo bilinear de plasticidade.	13
2.1	Parâmetros de definição do problema considerado.	14
2.2	Viga do problema deformada.	15
3.1	Modelo de plasticidade utilizado (em destaque, os pontos que representam as tensões e deformações na extremidade superior da viga após a aplicação dos esforços).	21
3.2	Deformação máxima da viga ao longo do perfil.	22
3.3	Deformação da viga após a aplicação e a remoção do momento na extremidade.	23
3.4	- Comparação entre os perfis de tensões ao longo da seção transversal da viga obtidos pelas soluções numérica e analítica.	24
3.5	Relação entre momento e ângulo descrito pela viga deformada.	24
3.6	Relação entre os ângulos de deformação residual e máxima da viga.	25

Lista de tabelas

1.1 Símbolos e variáveis utilizados

8

1 Introdução

1.1 Lista de Símbolos

Tabela 1.1: Símbolos e variáveis utilizados

Símbolo	Descrição	Unidade de medida
x	Coordenada na direção horizontal da viga	m
y	Coordenada na direção vertical da viga	m
z	Coordenada na direção da largura da viga	m
u	Deslocamento da viga na direção x	m
v	Deslocamento da viga na direção u	m
y_e	Distância da linha neutra em que a plastificação começa	m
d	Altura da viga	m
h	Largura da viga	m
L	Comprimento da viga	m
I	Momento de inércia de área da seção transversal da viga	m^4
E	Módulo de elasticidade do material	Pa
E_p	Módulo de plasticidade do material	Pa
q	Carregamento	N/m
M	Momento fletor	Nm

Continua na página seguinte

Tabela 1.1 – continuação da página anterior

Símbolo	Descrição	Unidade de medida
κ	Curvatura da viga	m^{-1}
ρ	Raio de curvatura da viga	m
ρ_0	Raio do arco circunferência descrito pela linha neutra da viga	m
ϕ	Ângulo do arco de círculo descrito pela viga	rad
ϕ_y	Ângulo do arco de círculo descrito pela viga no qual o escoamento começa	rad
ϕ'	Ângulo residual do arco de círculo descrito pela viga	m
ϵ	Deformação da viga	m/m
ϵ_y	Deformação máxima que a viga suporta antes de escoar	m/m
ϵ_{res}	Deformação residual da viga	m/m
σ	Tensão normal que atua na viga	Pa
σ_y	Tensão de escoamento da viga	Pa
σ_{res}	Tensão normal residual na viga	Pa
τ	Tensão de cisalhamento que atua na viga	Pa

1.2 Vigas

Uma viga é um elemento estrutural em que uma das dimensões é muito maior do que as demais e pode ser submetido a esforços axiais e transversais ao seu comprimento. Tais esforços resultam em tensões no material e deformam a viga dando-lhe uma curvatura [1].

As figuras 1.1 e 1.2 ilustram o comportamento descrito anteriormente, quando uma carga transversal uniformemente distribuída atua em uma viga em balanço.

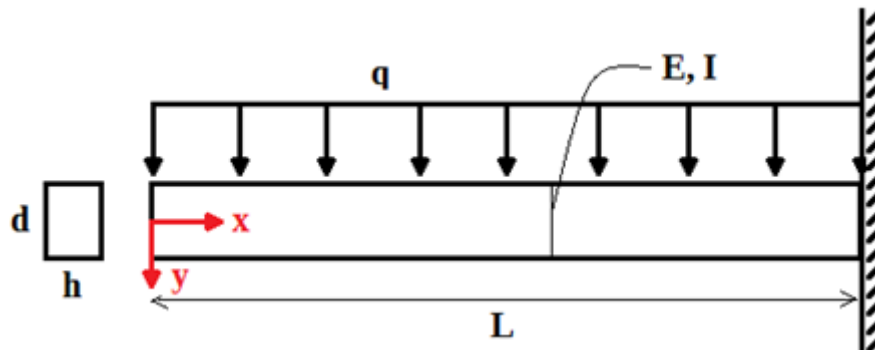


Figura 1.1: Esquema ilustrativo de uma viga retangular sob carregamento uniforme.

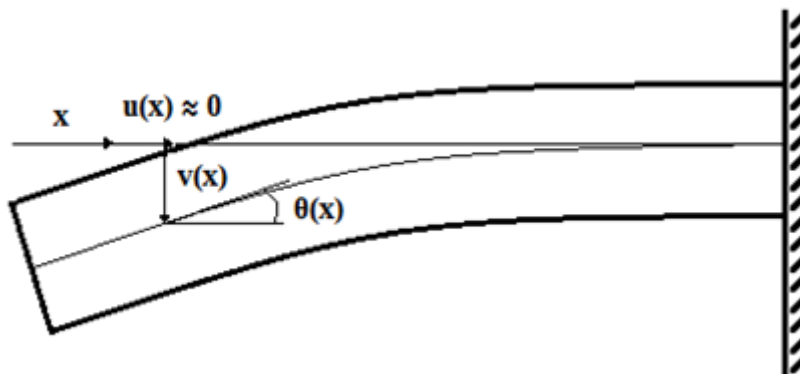


Figura 1.2: Variáveis que descrevem a viga deformada sob os efeitos do carregamento uniforme.

1.3

O Modelo Euler-Bernoulli

O modelo mais comumente utilizado para descrever o comportamento de vigas em flexão é o modelo de Euler-Bernoulli. Este modelo, que é uma simplificação das equações gerais da Teoria da Elasticidade[2], relaciona a deflexão obtida com o carregamento por uma equação diferencial parcial linear de quarta ordem.

Nesse estudo, as seguintes hipóteses simplificadoras são utilizadas:

- A viga é prismática e seu comprimento é muito maior que as demais dimensões. ($\frac{L}{d} > 10$)

- A viga é constituída de um material homogêneo isotrópico e no regime linearmente elástico.

- Seções transversais inicialmente perpendiculares à linha longitudinal da viga permanecem planas e perpendiculares depois da deformação.

- O ângulo de rotação da seção reta na posição deformada é pequeno. ($\sin(\phi) \approx \phi$ e $\cos(\phi) \approx 1$)

- A tensão de cisalhamento é desprezível quando comparada com as tensões normais longitudinais. ($\tau_{xy} \approx 0$)

Das condições de equilíbrio, compatibilidade geométrica e constitutiva, obtém-se a seguinte equação relativa ao deslocamento transversal $v(x)$ correspondente à curva de deflexão.

$$\frac{d^2v}{dx^2} = \frac{M}{EI} \quad (1-1)$$

Considerando-se o carregamento externo uniforme atuante, o balanço de momentos em qualquer ponto da viga resulta em

$$\frac{d^2M}{dx^2} = q \quad (1-2)$$

Combinando-se as equações (1-1) e (1-2), e considerando que a viga possui seção reta retangular e prismática ($EI = \text{constante}$), o problema é regido pela equação

$$\frac{d^4v}{dx^4} = \frac{q}{EI} \quad (1-3)$$

Para o caso de viga engastada na base ($x = L$) e livre na outra extremidade ($x = 0$), devem ser impostas as seguintes condições de contorno:

$$v(L) = 0 \quad (1-4)$$

$$\frac{dv}{dx}(L) = 0 \quad (1-5)$$

$$\frac{d^2v}{dx^2}(L) = \frac{qL^2}{2} \quad (1-6)$$

$$\frac{d^3v}{dx^3}(L) = -qL \quad (1-7)$$

Da solução da equação diferencial (1-3) com as devidas condições de contorno, obtém-se para a deflexão da viga ao longo de seu comprimento,

$$v(x) = \frac{q(L-x)^2(3L^2 + 2Lx - x^2)}{24EI} \quad (1-8)$$

Também, o momento de inércia de área da seção transversal retangular é

$$I = \frac{hd^3}{12} \quad (1-9)$$

que levado à equação (1-8), chega-se à expressão final para deflexão de vigas retangulares sob carregamento externo uniforme q segundo as hipóteses de Euler-Bernoulli,

$$v(x) = \frac{q(L-x)^2(3L^2 + 2Lx - x^2)}{2hd^3E} \quad (1-10)$$

Da teoria de Euler-Bernoulli tem-se também que a relação entre a tensão axial que atua em um ponto da viga com o momento fletor na seção considerada é

$$\sigma(y) = \frac{My}{I} \quad (1-11)$$

Do balanço de momentos atuantes resulta a expressão do momento fletor, em função da coordenada da seção reta,

$$M(x) = \frac{-qx^2}{2} \quad (1-12)$$

Portanto, a tensão axial, na equação (1-11), é das coordenadas x e y e combinando-se as equações (1-9), (1-11) e (1-12), obtém-se

$$\sigma(x, y) = -\frac{6qx^2y}{hd^3} \quad (1-13)$$

1.4

O Modelo Bilinear de Plasticidade

Para a representação da curva tensão-deformação de um material elastoplástico com encruamento (figura 1.3), utiliza-se o modelo simplificado bilinear. Neste modelo, a região linear elástica do material é representada por uma reta de coeficiente angular, igual ao módulo de elasticidade do material (E), em que as tensões são limitadas à tensão de escoamento (σ_y) do material. A região plástica, representativa do comportamento não-linear do material, é também aproximada por uma reta cujo coeficiente angular é o módulo de plasticidade (E_p). Nesta região, a tensão menor é a de escoamento do material.

Neste estudo, considera-se o valor de E_p dado por:

$$E_p = \frac{E}{10} \quad (1-14)$$



Figura 1.3: Curva de tensão x deformação real de um material elastoplastico que encrua.

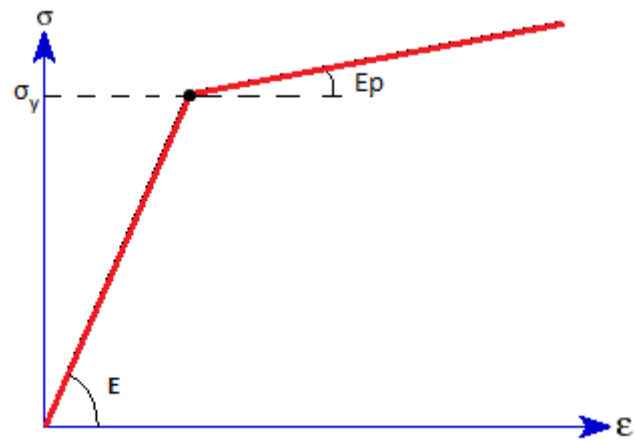


Figura 1.4: Curva tensão x deformação para o modelo bilinear de plasticidade.

2

Equacionamento

2.1

Descrição do problema

Neste trabalho, considera-se a análise de uma viga esbelta de seção retangular, em balanço e com um momento concentrado atuando na sua extremidade livre, conforme mostrado na figura 2.1.

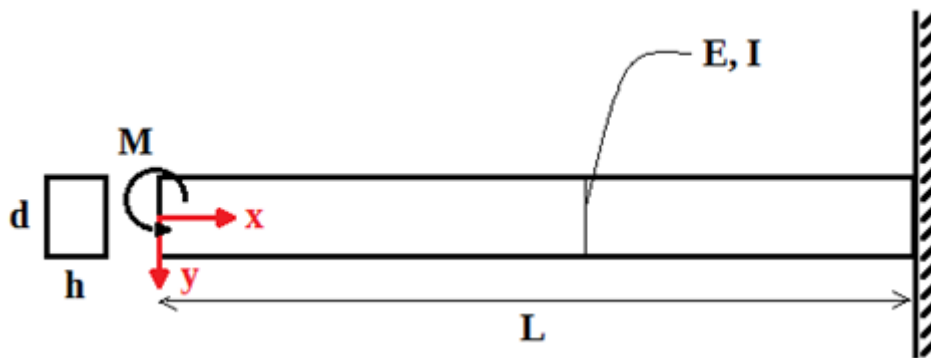


Figura 2.1: Parâmetros de definição do problema considerado.

Também considera-se que o carregamento aplicado é suficiente para provocar grandes deslocamentos na viga, permitindo o material ter um comportamento elasto-plástico.

Devido às não-linearidades geométricas e físicas do problema, o modelo de Euler-Bernoulli não é adequado para representar o comportamento dessa viga. Assim, para este estudo há a necessidade de se encontrar um novo conjunto de equações.

Neste caso, a solução analítica do problema deve ser obtida sob as seguintes considerações:

- O deslocamento da linha neutra em relação à linha média é desprezível.
- A existência de tensões cisalhantes foi desconsiderada ($\tau_{xy} \approx 0$).
- O material da viga é homogêneo, isotrópico e bilinear.
- Por estar sob flexão pura, a viga, na configuração deformada, toma a forma de um arco de circunferência de raio constante.

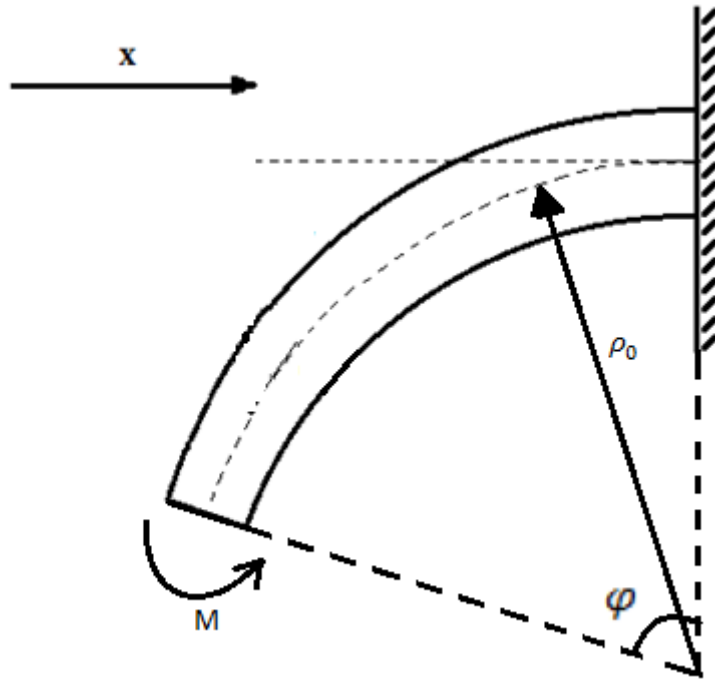


Figura 2.2: Viga do problema deformada.

2.2

Tensão e Deformação

Da mesma forma que o modelo linear, a deformação ao longo do perfil da viga pode ser escrita como

$$\epsilon(y) = \kappa y \quad (2-1)$$

em que curvatura de cada fibra horizontal da viga (κ) relaciona-se com o raio da linha longitudinal média (fibra neutra) ρ_0 pelas seguintes relações:

$$\kappa = \frac{1}{\rho} \quad (2-2)$$

$$\rho(y) = \rho_0 + y \quad (2-3)$$

Substituindo-se essas relações em (2-1), tem-se

$$\epsilon(y) = \frac{y}{\rho_0 + y} \quad (2-4)$$

Considerando-se a relação entre o ângulo central de um arco e seu raio de curvatura, tem-se

$$\phi = \frac{L}{\rho_0} \quad (2-5)$$

Que substituída em (2-4) resulta em

$$\epsilon(y) = \frac{y}{\frac{L}{\phi} + y} \quad (2-6)$$

Assim, a tensão na região elástica da viga pode ser obtida usando-se a lei de Hooke:

$$\sigma = E\epsilon \quad (2-7)$$

E, então,

$$\sigma(y) = \frac{Ey}{\frac{L}{\phi} + y} \quad (2-8)$$

Essa relação é válida no regime linear, i.e., $\sigma(y) \leq \sigma_y$.

Para o regime não-linear, considera-se a seguinte expressão ($\sigma(y) > \sigma_y$),

$$\sigma(\epsilon) = \sigma_y + E_p(\epsilon - \epsilon_y) \quad (2-9)$$

que reescrita em função da coordenada y e usando a relação (2-10) abaixo, chega-se à equação final (2-11), para a tensão na região plástica.

$$\sigma_y = E\epsilon_y \quad (2-10)$$

$$\sigma(y) = \sigma_y + E_p \left(\frac{y}{\frac{L}{\phi} + y} - \frac{\sigma_y}{E} \right) \quad (2-11)$$

O ponto no perfil da viga, de coordenada y_e , em que o escoamento do material se inicia, resulta da equação (2-8),

$$y = \frac{\sigma(y)L}{\phi(E - \sigma(y))} \quad (2-12)$$

e usando a relação $\sigma(y_e) = \sigma_y$, a equação (2-12) pode ser reescrita como

$$y_e = \frac{\sigma_y L}{\phi(E - \sigma_y)} \quad (2-13)$$

Também da equação (2-13) obtém-se o ângulo central mínimo correspondente ao início do escoamento da viga.

$$\phi_y = \frac{\sigma_y L}{y_e(E - \sigma_y)} \quad (2-14)$$

O menor valor para ϕ_y é obtido de (2-14) quando y_e for máximo, i.e.,

$$\phi_y = \frac{2\sigma_y L}{d(E - \sigma_y)} \quad (2-15)$$

2.3

Momento e ângulo de deformação

O momento M necessário para fletir a viga sem que haja o escoamento do material ($\phi < \phi_y$) é obtido da equação

$$\sigma = \frac{My}{I} \quad (2-16)$$

ou ainda

$$M = \frac{\sigma I}{y} \quad (2-17)$$

Considerando as equações (2-8) e (2-17) e considerando-se que a tensão máxima ocorre em $y = \frac{d}{2}$, tem-se:

$$M(\phi) = \frac{EI}{\frac{L}{\phi} + \frac{d}{2}} \quad (2-18)$$

Assim, a relação entre o momento aplicado na extremidade e o ângulo no qual a viga se deforma para os casos em que ocorre escoamento ($\phi > \phi_y$) é obtida integrando o perfil de tensões (equação de equilíbrio):

$$M = 2h \int_0^{\frac{d}{2}} \sigma(y)ydy \quad (2-19)$$

Logo, a equação (2-19) resulta em

$$\frac{M}{2h} = \int_0^{y_e} \left(\frac{Ey}{\frac{L}{\phi} + y} \right) ydy + \int_{y_e}^{\frac{d}{2}} \left(\sigma_y + E_p \left(\frac{y}{\frac{L}{\phi} + y} - \frac{\sigma_y}{E} \right) \right) ydy \quad (2-20)$$

$$\begin{aligned} \frac{M}{2h} = E \left[\frac{L^2}{\phi^2} \ln \left(y + \frac{L}{\phi} \right) + \frac{y^2}{2} - \frac{yL}{\phi} \right]_0^{y_e} + \int_{y_e}^{\frac{d}{2}} y\sigma_y dy \\ + \int_{y_e}^{\frac{d}{2}} yE_p \left(\frac{y}{\frac{L}{\phi} + y} \right) dy - \int_{y_e}^{\frac{d}{2}} yE_p \left(\frac{\sigma_y}{E} \right) dy \end{aligned} \quad (2-21)$$

$$\begin{aligned} \frac{M}{2h} = E \left[\frac{L^2}{\phi^2} \ln \left(y + \frac{L}{\phi} \right) + \frac{y^2}{2} - \frac{yL}{\phi} \right]_0^{y_e} + \left[\frac{\sigma_y y^2}{2} \right]_{y_e}^{\frac{d}{2}} \\ + E_p \left[\frac{L^2}{\phi^2} \ln \left(y + \frac{L}{\phi} \right) + \frac{y^2}{2} - \frac{yL}{\phi} \right]_{y_e}^{\frac{d}{2}} - \frac{E_p}{E} \left[\frac{\sigma_y y^2}{2} \right]_{y_e}^{\frac{d}{2}} \end{aligned} \quad (2-22)$$

$$\begin{aligned} \frac{M}{2h} = E \left[\frac{L^2}{\phi^2} \ln \left(y_e + \frac{L}{\phi} \right) + \frac{y_e^2}{2} - \frac{Ly_e}{\phi} \right] - E \left[\frac{L^2}{\phi^2} \ln \left(\frac{L}{\phi} \right) \right] + \left[\frac{\sigma_y d^2}{8} \right] \\ - \left[\frac{\sigma_y y_e^2}{2} \right] + E_p \left[\frac{L^2}{\phi^2} \ln \left(\frac{d}{2} + \frac{L}{\phi} \right) + \frac{d^2}{8} - \frac{Ld}{2\phi} \right] \\ - E_p \left[\frac{L^2}{\phi^2} \ln \left(y_e + \frac{L}{\phi} \right) + \frac{y_e^2}{2} - \frac{Ly_e}{\phi} \right] - \frac{E_p \sigma_y}{E} \left(\frac{d^2}{4} - y_e^2 \right) \end{aligned} \quad (2-23)$$

que rearrumado torna-se

$$\begin{aligned} \frac{M}{2h} = (E - E_p) \left[\frac{L^2}{\phi^2} \ln \left(y_e + \frac{L}{\phi} \right) + \frac{y_e^2}{2} - \frac{Ly_e}{\phi} \right] - E \left[\frac{L^2}{\phi^2} \ln \left(\frac{L}{\phi} \right) \right] \\ + \frac{\sigma_y}{2} \left(1 - \frac{E_p}{E} \right) \left(\frac{d^2}{4} - y_e^2 \right) + E_p \left[\frac{L^2}{\phi^2} \ln \left(\frac{d}{2} + \frac{L}{\phi} \right) + \frac{d^2}{8} - \frac{Ld}{2\phi} \right] \end{aligned} \quad (2-24)$$

2.4

Descarregamento da Viga

Considerando-se agora o comportamento da viga ao se remover a carga aplicada, deve ser considerado que tensões residuais estarão presentes na viga descarregada, e esta não volta à sua posição original[3].

Assim, a equação (2-6) para a deformação da viga deve ser adaptada considerando-se um ângulo residual (ϕ')

$$\epsilon_{res}(y) = \frac{y}{\frac{L}{\phi'} + y} \quad (2-25)$$

Desta forma, a expressão para a tensão residual pode ser obtida usando-se a relação

$$\sigma(y) - \sigma_{res} = E (\epsilon(y) - \epsilon_{res}) \quad (2-26)$$

ou

$$\sigma_{res} = \sigma(y) - E (\epsilon(y) - \epsilon_{res}) \quad (2-27)$$

A expressão do valor da tensão residual na região ainda no regime elástico é obtida substituindo-se $\sigma(y)$ pelo valor na equação (2-7), que resulta em:

$$\sigma_{res} = E\epsilon_{res} \quad (2-28)$$

Logo,

$$\sigma_{res}(y) = \frac{Ey}{\frac{L}{\phi'} + y} \quad (2-29)$$

Já, para obter-se a tensão residual na região em que houve plastificação, substitui-se $\sigma(y)$ pelo valor mostrado na equação (2-11) resultando em

$$\sigma_{res}(y) = \sigma_y + E_p \left(\frac{y}{\frac{L}{\phi} + y} - \frac{\sigma_y}{E} \right) - E (\epsilon(y) - \epsilon_{res}) \quad (2-30)$$

e, portanto,

$$\sigma_{res}(y) = \sigma_y + \frac{E_p y}{\frac{L}{\phi} + y} - \frac{E_p \sigma_y}{E} - \frac{Ey}{\frac{L}{\phi} + y} + \frac{Ey}{\frac{L}{\phi'} + y} \quad (2-31)$$

A relação entre ϕ e ϕ' é obtida integrando-se o campo de tensões residuais considerando que o momento é nulo. Desta forma, resulta em

$$M = \int_{-\frac{d}{2}}^{\frac{d}{2}} \sigma_{res}(y) h y dy \quad (2-32)$$

$$0 = 2h \int_0^{\frac{d}{2}} \sigma_{res}(y) y dy \quad (2-33)$$

$$0 = \int_0^{y_e} \frac{Ey^2}{\frac{L}{\phi'} + y} dy + \int_{y_e}^{\frac{d}{2}} \sigma_y y + E_p y \left(\frac{y}{\frac{L}{\phi} + y} - \frac{\sigma_y}{E} \right) - E (\epsilon(y) - \epsilon_{res}) dy \quad (2-34)$$

$$\begin{aligned} 0 = & E \left[\left(\frac{L}{\phi'} \right)^2 \ln \left(y + \frac{L}{\phi'} \right) + \frac{y^2}{2} - \frac{yL}{\phi'} \right]_{y_e}^{y_e} + \left[\frac{\sigma_y y^2}{2} \right]_{y_e}^{\frac{d}{2}} \\ & + E_p \left[\left(\frac{L}{\phi} \right)^2 \ln \left(y + \frac{L}{\phi} \right) + \frac{y^2}{2} - \frac{yL}{\phi} \right]_{y_e}^{\frac{d}{2}} - \frac{E_p}{E} \left[\frac{\sigma_y y^2}{2} \right]_{y_e}^{\frac{d}{2}} \\ & - E \left[\left(\frac{L}{\phi} \right)^2 \ln \left(y + \frac{L}{\phi} \right) + \frac{y^2}{2} - \frac{yL}{\phi} \right]_{y_e}^{\frac{d}{2}} \\ & + E \left[\left(\frac{L}{\phi'} \right)^2 \ln \left(y + \frac{L}{\phi'} \right) + \frac{y^2}{2} - \frac{yL}{\phi'} \right]_{y_e}^{\frac{d}{2}} \end{aligned} \quad (2-35)$$

$$\begin{aligned} 0 = & \frac{\sigma_y}{2} \left(1 - \frac{E_p}{E} \right) \left(\left(\frac{d}{2} \right)^2 - y_e^2 \right) \\ & + E \left[\left(\frac{L}{\phi'} \right)^2 \ln \left(\frac{d}{2} + \frac{L}{\phi'} \right) + \frac{d^2}{8} - \frac{Ld}{2\phi'} \right] - E \left[\left(\frac{L}{\phi'} \right)^2 \ln \left(\frac{L}{\phi'} \right) \right] \\ & + (E - E_p) \left[\left(\frac{L}{\phi} \right)^2 \ln \left(\frac{d}{2} + \frac{L}{\phi} \right) + \frac{d^2}{8} - \frac{Ld}{2\phi} \right] \\ & - (E - E_p) \left[\left(\frac{L}{\phi} \right)^2 \ln \left(y_e + \frac{L}{\phi} \right) + \frac{y_e^2}{2} - \frac{Ly_e}{\phi} \right] \end{aligned} \quad (2-36)$$

Substituindo-se y_e da equação (2-13) em (2-36) obtém-se a expressão que relaciona o ângulo máximo que o carregamento conseguiu deformar a viga (ϕ) com o ângulo residual após o descarregamento (ϕ'). Esta equação, é válida para $\phi \geq \phi_y$.

$$\begin{aligned}
0 &= \frac{\sigma_y}{2} \left(1 - \frac{E_p}{E}\right) \left(\left(\frac{d}{2}\right)^2 - \left(\frac{\sigma_y L}{\phi(E - \sigma_y)}\right)^2 \right) \\
&+ E \left[\left(\frac{L}{\phi'}\right)^2 \ln \left(\frac{d}{2} + \frac{L}{\phi'}\right) + \frac{d^2}{8} - \frac{Ld}{2\phi'} \right] - E \left[\left(\frac{L}{\phi'}\right)^2 \ln \left(\frac{L}{\phi'}\right) \right] \\
&\quad + (E - E_p) \left[\left(\frac{L}{\phi}\right)^2 \ln \left(\frac{d}{2} + \frac{L}{\phi}\right) + \frac{d^2}{8} - \frac{Ld}{2\phi} \right] \\
&- (E - E_p) \left[\left(\frac{L}{\phi}\right)^2 \ln \left(\frac{\sigma_y L}{\phi(E - \sigma_y)} + \frac{L}{\phi}\right) + \frac{1}{2} \left(\frac{\sigma_y L}{\phi(E - \sigma_y)}\right)^2 - \frac{\sigma_y L^2}{\phi^2(E - \sigma_y)} \right]
\end{aligned} \tag{2-37}$$

3 Análise dos Resultados

3.1 Parâmetros

Para validar as equações obtidas no capítulo 2, foram realizadas análises com as mesmas através de gráficos e simulações.

Nessas análises utilizou-se uma viga de 10 metros de comprimento e com seção reta quadrada de 0,2 metros de altura e 0,5 metros de largura. O material desta viga tem o comportamento elastoplástico bilinear, com módulos de elasticidade e de plasticidade iguais, respectivamente, a 2 MPa e 0,2 MPa e cuja tensão de escoamento é 19746 Pa.

A viga foi carregada com um momento concentrado até deformar em um ângulo igual a π rad escoando durante esse processo e posteriormente descarregada ficando com um ângulo residual de, aproximadamente, $\frac{\pi}{2}$ rad, conforme mostra a figura 3.1.

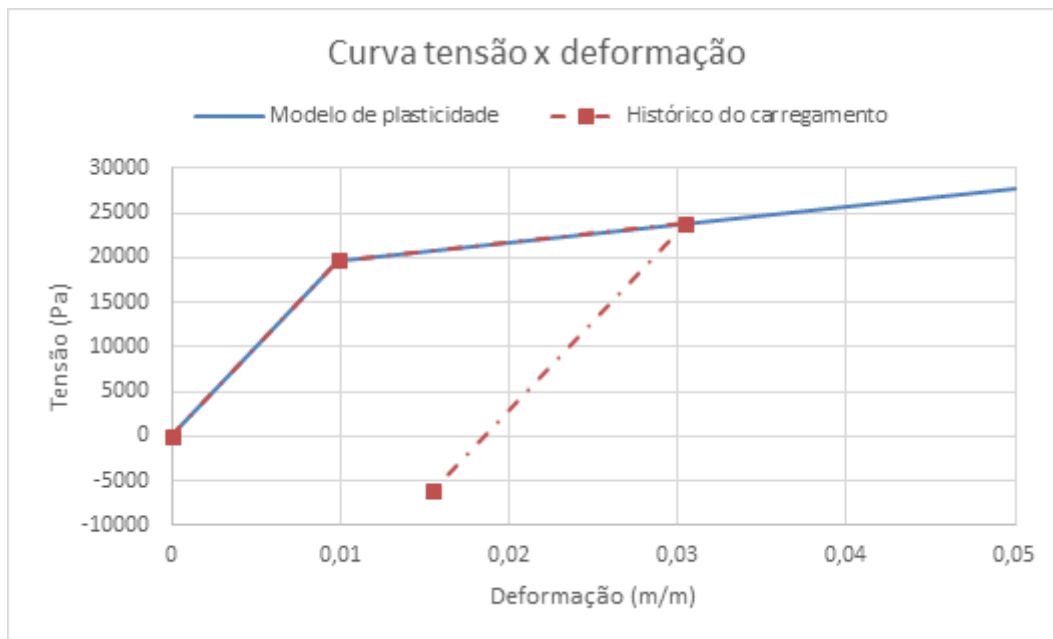


Figura 3.1: Modelo de plasticidade utilizado (em destaque, os pontos que representam as tensões e deformações na extremidade superior da viga após a aplicação dos esforços).

Com esses parâmetros, traçou-se o gráfico abaixo usando a equação 2-6:

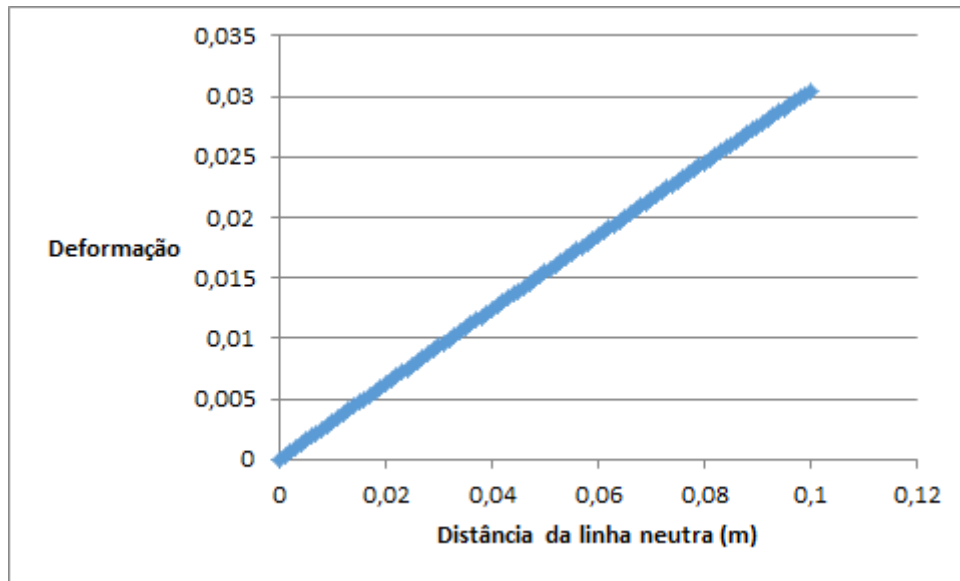


Figura 3.2: Deformação máxima da viga ao longo do perfil.

Apesar da equação da deformação (2-6) ser não linear, as dimensões esbeltas deixam a equação praticamente linear.

3.2

Resultado das simulações

Utilizando-se o programa de simulação ANSYS e o método dos elementos finitos[4] [5]. Obteve-se os seguintes resultados para um modelo de elemento tridimensional (3 graus de liberdade) com 20 elementos ao longo do comprimento, 1 ao longo da largura e 5 ao longo da altura, cada elemento contendo 20 pontos nodais :

A figura 3.3 apresenta uma comparação entre os resultados numéricos e analíticos para a posição da viga deformada no carregamento e no descarregamento. As diferenças obtidas em alguns pontos durante o descarregamento devem ser atribuídas ao refinamento utilizado com a malha.

Os resultados das equações para a tensão durante o carregamento (equações 2-8 e 2-11) são comparados com os resultados do ANSYS na figura 3.4. Como pode-se observar , as curvas analítica e numérica praticamente se sobrepõem. Também é mostrado que para ambas as soluções o valor da tensão em $y = 0$ é de zero, validando assim a hipótese de que o deslocamento da linha neutra é desprezível.

Na simulação, constatou-se que o momento necessário para deformar a viga em π rad era próximo de 106 Nm. Isso é comprovado pelas curvas resultantes das equações (2-18) e (2-24) notando-se que ela intercepta o ponto esperado, como mostra a figura 3.5.

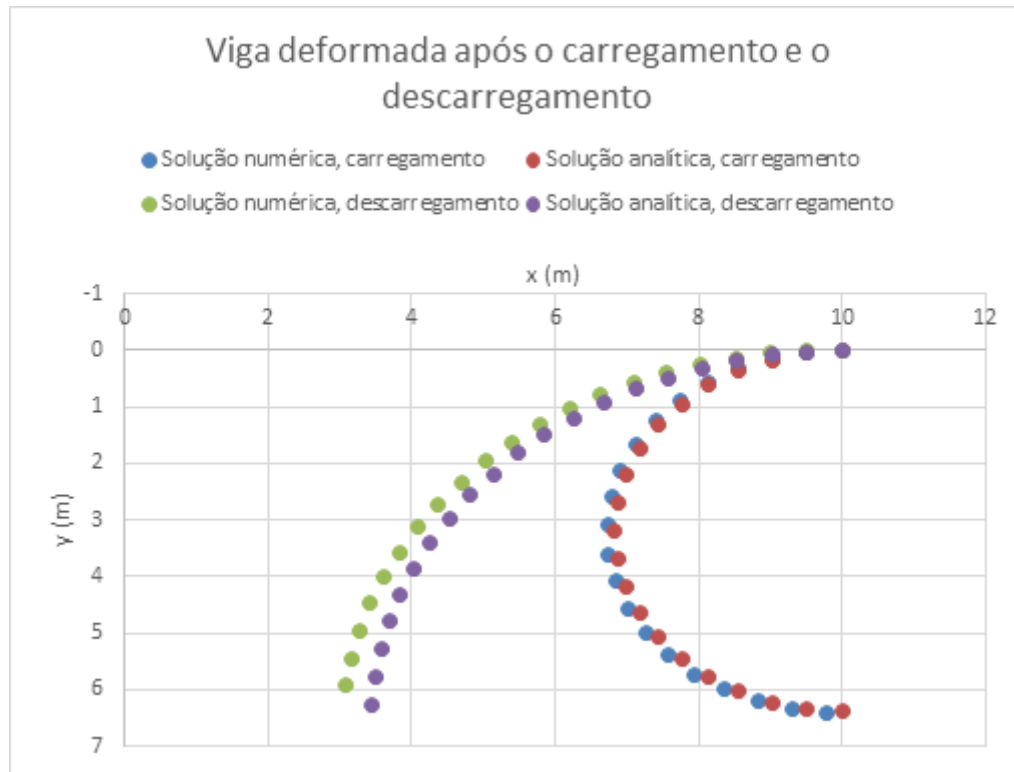


Figura 3.3: Deformação da viga após a aplicação e a remoção do momento na extremidade.

Finalmente, a figura 3.6 apresenta a relação do ângulo residual comparado com a equação (2-18) e, mais uma vez, houve concordância entre os resultados numéricos e analíticos.

Levando-se os parâmetros da viga na equação (2-15) obtém-se que o ângulo de deformação em que começa o escoamento é igual a $0,317\pi$ rad, que é o ponto de inflexão do gráfico da figura 3.6. Para valores menores, o ângulo residual é zero, já que não ocorre o escoamento do material. Para valores maiores, o gráfico é regido pela equação (2-18). Também, como esperado, a figura 3.6 mostra que apesar da equação (2-18) ser transcendental, no domínio do problema ela é linear, já que o gráfico tensão x deformação de um material elastoplástico é sempre linear durante o descarregamento.

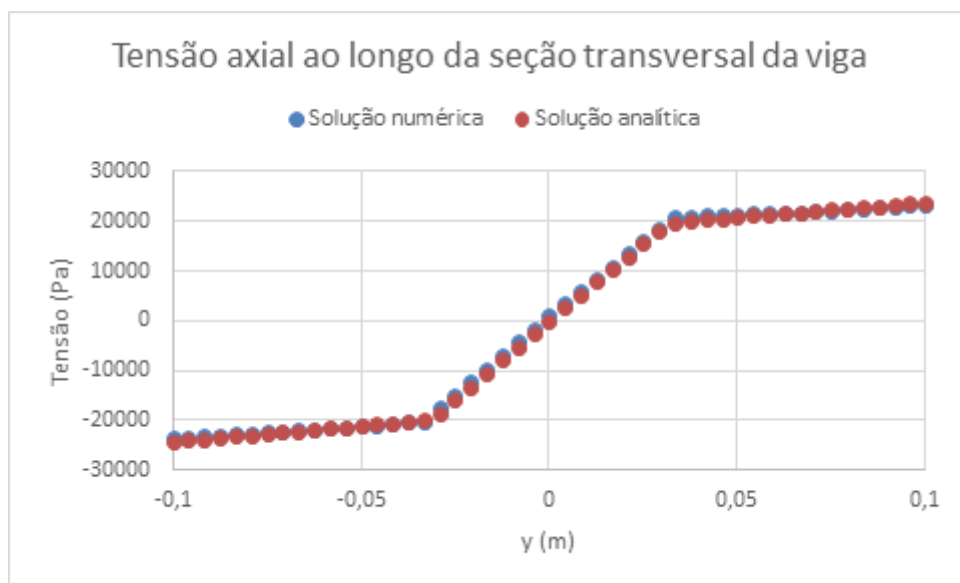


Figura 3.4: - Comparação entre os perfis de tensões ao longo da seção transversal da viga obtidos pelas soluções numérica e analítica.

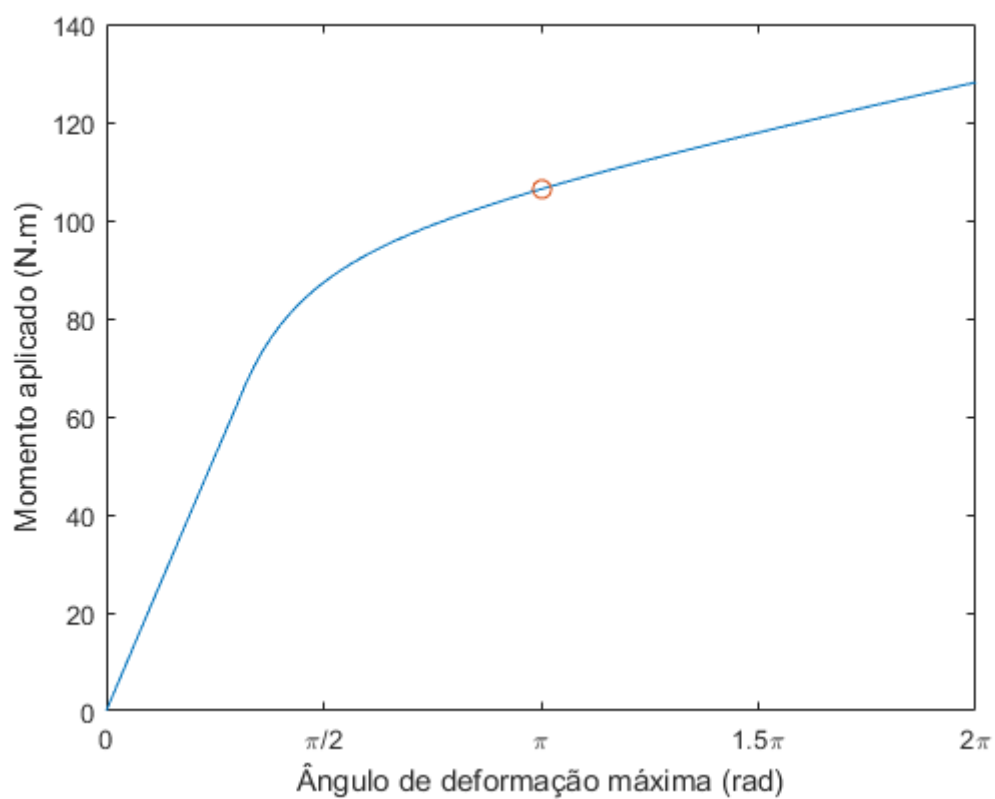


Figura 3.5: Relação entre momento e ângulo descrito pela viga deformada.

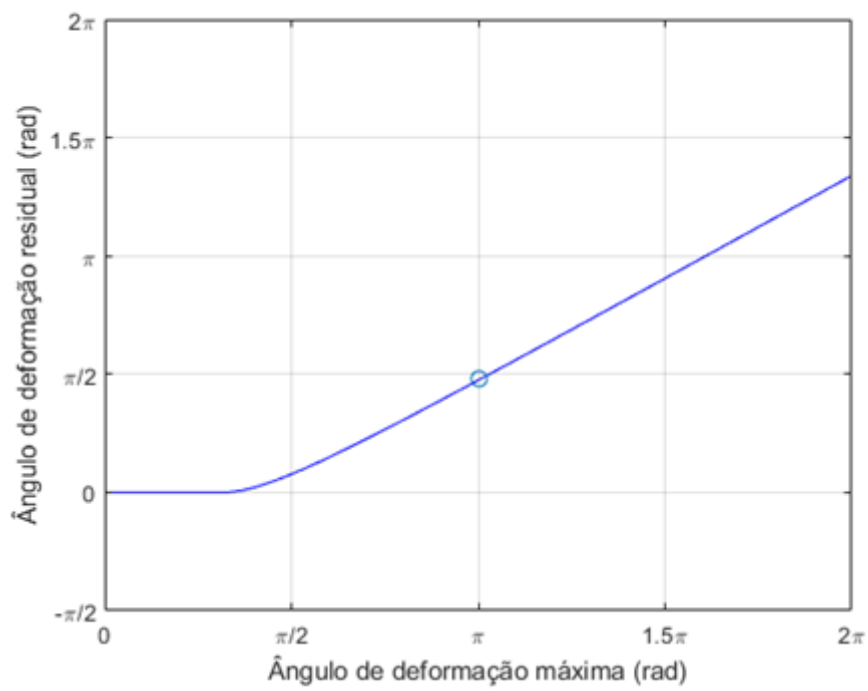


Figura 3.6: Relação entre os ângulos de deformação residual e máxima da viga.

4

Conclusão

O trabalho descreve, através de equações, as tensões e as deformações de uma viga reta em balanço, sob flexão pura. As hipóteses simplificadoras utilizadas no modelo analítico mostraram-se adequados à solução do problema.

O método dos elementos finitos e o programa ANSYS se mostraram muito eficientes e apropriados durante a avaliação dos resultados e permitiram corroborar as soluções analíticas e numéricas.

A utilização de modelos analíticos aliados às soluções com o método dos elementos finitos permitem a avaliação de um problema de engenharia possuindo não-linearidades físicas e geométricas, similares às que ocorrem frequentemente na prática da engenharia e, assim, servindo de plataforma para a solução de outros problemas com as mesmas não linearidades mas para diferentes condições de contorno.

Referências Bibliográficas

- [1] GERE, J. M.; GOODNO, B. J. *Mecânica dos Materiais, tradução da 7a edição norte-americana*. Cengage Learning, 2010.
- [2] TIMOSHENKO, S. P.; GOODIER, J. N. *Teoria da Elasticidade, 3a edição*. Editora Guanabara, 1980.
- [3] CASTRO, J. T. P.; MEGGIOLARO, M. A. *FADIGA - Volume II*. 2009.
- [4] QUIRINO, T. S. *Estrutura esbelta unidimensional sob grandes deslocamentos e condições de plastificação - análise numérica*. 2016.
- [5] BATHE, K. J. *Finite Element Procedures*. Prentice Hall, 1996.